УДК 661.183.6 Оригинальная статья

Сорбция катионов La^{3+} цеолитами из водных растворов Ю.В. Pex^1 , С.А. Бибанаева 2 , М.С. Валова 1 , В.М. Скачков 2 , О.В. Федорова 1 , Н.А. Сабирзянов 2

¹ФГБУН «Институт органического синтеза им. И.Я. Постовского УрО РАН» 620108, Россия, Екатеринбург, ул. Софьи Ковалевской, 22/20 ²ФГБУН «Институт химии твердого тела Уральского отделения РАН» 620108, Россия, Екатеринбург, ул. Первомайская, 91 bibanaeva@mail.ru

DOI: 10.26456/pcascnn/2024.16.960

Аннотация: Показано, сорбция катионов лантана синтетическим ОТР алюмосиликатным цеолитом, в отличие от природного, увеличивается, как в кислых, так и в нейтральных условиях в 4 раза (с 8 до 26%) и 8 раз (с 4 до 33%), а сорбционная ёмкость увеличивается в 3-8 раз до 145 и 184 мг/г соответственно. Сделан сравнительный анализ применимости адсорбционных моделей Ленгмюра, Фрейндлиха, Темкина, Дубинина-Радушкевича для описания экспериментальных изотерм адсорбции катионов лантана на синтетическом цеолите. Показано, что в водных средах лучше всего подходит модель Ленгмюра ($R^2 = 0.9996$). Это свидетельствует о том, что в результате сорбции образуется однородная монослойная поверхность. По моделям псевдо-первого, псевдо-второго порядка и модели внутричастичной диффузии сделано предположение об ионообменном характере сорбции. Было показано, что цеолиты могут почти количественно извлекать катионы La^{3+} из водных растворов и представляют интерес в качестве сорбентов, обладающих высокой сорбционной способностью.

Ключевые слова: сорбция, очистка, сорбционная активность, синтетический цеолит, алюмосиликат, лантан, модель Лэнгмюра.

1. Введение

Цеолиты – это природные или синтетические микропористые кристаллические вещества, состоящие преимущественно из тетраэдров SiO_4 и AlO_4 , соединенных друг с другом кислородными мостиками. Они уже нашли свое широкое применение для решения актуальных задач экологии и химической промышленности. Синтетические цеолиты представляют особый интерес благодаря возможности варьировать размер полости, структуру каналов, при этом они термически стабильны и химически инертны. Возможность модификации химического состава позволяет влиять на физико-химические свойства, и как следствие на силу и количество активных центров. Регулируемые по размеру полости, содержащие дефекты и активные химические центры, представляют собой микрореактор для осуществления каталитических органических реакций изучаются сорбционные свойства Широко природных синтетических цеолитов для сорбции тяжелых металлов, таких как ионов меди, свинца, цинка и других [6, 7], редкоземельных элементов [8, 9].

Изменение свойств цеолитов осуществляется как с помощью модификации существующих цеолитов, так и синтеза новых [10-12]. Ранее © Ю.В. Рех, С.А. Бибанаева, М.С. Валова, В.М. Скачков, О.В. Федорова, Н.А. Сабирзянов, 2024

авторами были проведены исследования по синтезу цеолитов, изучению их свойств и проведение сорбции тяжелых металлов и ионов фтора и хлора [10, 13-15].

В работе представлены результаты исследования по применению синтетических цеолитов, полученных из алюминатных растворов глиноземного производства в качестве сорбента для очистки растворов от ионов редкоземельных элементов на примере лантана в различных условиях.

2. Материалы и методы

Для эксперимента в качестве сорбента для очистки водных растворов от лантана применяли синтезированный алюмосиликатный цеолит состава масс.%: Na-11,6, Al-25,8, Si-24,2, Ca-38 [15], основная масса (82%) частиц имеет размеры в интервале 1-6,7 мкм, другая масса частиц наноразмерная (5%), размеры лежат в интервале от 87 до 445 нм. В качестве элемента сравнения использовали природный цеолит состава масс.%: Na-1,3, Mg-0,4, Al-9,1, Si-50,1, K-4,2, Ca-1,8, Fe-0,4.

Сорбцию проводили из водных растворов хлорида лантана с pH 1,0 и 7,0 содержащие катионы La^{3+} в концентрации от 0,01 до 0,1 моль/л.

Для исследования сорбции ионов La^{3+} цеолитами проводили эксперимент в статических условиях методом ограниченного объема. В эппендорфы вместимостью 1,5 мл вносили 0,025 г сорбента, добавляли 1,0 мл раствора определенного pH, содержащего катионы La^{3+} , оставляли в течение 24 часов при постоянном перемешивании, при температуре T (298±2) К. Далее фазы разделяли центрифугированием и фильтрованием, по окончанию фильтрат и твердый осадок анализировали различными физико-химическими методами. Эффективность сорбции оценивали по изменению содержания катионов La^{3+} в исходном и отфильтрованном растворе спектрофотометрическим способом с помощью арсеназо III (pH 2,5) при длине волны 653 нм [16].

Для исследования десорбции катионов La^{3+} из сорбентов, брали сорбент после проведения сорбции, высушивали. Десорбцию проводили путем контактирования сорбента (m = 0.020 г) с 1 мл элюента (HCl и H_2O 1:1) в течение 1 часа.

- УФ-видимые спектры записаны на приборе UV-2600 фирмы Shimadzu (Япония);
- -pH определяли с помощью цифрового комбинированного pH-метра HI 1295 Amplified electrode фирмы Piccolo plus (Румыния);
- перемешивание проводили при помощи смесителя ротационного RM-1L (Латвия);
 - растворы центрифугировали на высокоскоростной

микроцентрифуге D2012 plus (Китай) 15000 об/мин 10 минут;

- определение фазового состава рентгенофазовый анализ (Shimadzu XRD 700);
- химический количественный анализ растворов масс-спектрометр с индуктивно связанной плазмой (Spectromass 2000).

Количество сорбируемого вещества, приходящегося на единицу массы сорбента (A, моль/ Γ), рассчитывали по формуле (1):

$$A = \frac{(Co - C) \cdot V}{m} \,, \tag{1}$$

где A — количество сорбированного вещества, моль/г; Co — исходная концентрация вещества в растворе, моль/л; C — равновесная концентрация вещества в растворе, моль/л; V — объем раствора, из которого производилась адсорбция, мл; m — масса адсорбента, Γ .

Расчет степени извлечения производился по формуле (2):

$$S = \left(\frac{C_0 - C}{C_0}\right) \cdot 100\%, \qquad (2)$$

где S — степень извлечения катионов La^{3+} , %; C_0 — исходная концентрация вещества в растворе, моль/л; C — равновесная концентрация вещества в растворе, моль/л.

Сорбционную емкость рассчитывали по формуле (3):

$$D = \frac{(C_0 - C) \cdot V \cdot Mr}{m}, \tag{3}$$

где D — сорбционная емкость, мг/г; C_0 — исходная концентрация вещества в растворе, моль/л; C — равновесная концентрация вещества в растворе, моль/л; V — объем раствора, из которого производилась адсорбция, мл; Mr — молярная масса металла, г/моль; m — масса адсорбента, г.

3. Результаты и обсуждение

По результатам, полученным после сорбции лантана природным и синтетическим цеолитом, было выяснено, что сорбционная активность синтетического цеолита выше, чем у природного (см. Таблицу 1). Степень извлечения ионов лантана из кислых растворов составила 26%, а из нейтральных — 33%. При этом сорбционная емкость синтетического сорбента в кислых условиях составила 145 мг/г, а в нормальных — 184 мг/г. Для образцов природного цеолита степень извлечения в кислых условиях составила 8%, а сорбционная емкость 46 мг/г, а в нейтральных условиях — 4% и 23 мг/г соответственно.

Элементный анализ сорбентов после сорбции (см. Таблицу 2) показал, что синтетический цеолит сорбирует катионы La^{3+} на порядок больше, чем природный.

Таблица 1. Сорбционная способность природного и синтетического цеолита по отношению к катионам La^{3+} (исходная концентрация раствора 0,1 моль/л).

Цеолит	рН до сорбции	рН после сорбции	S,%	D , M Γ / Γ
Пауказ чуу уў	7,0	4,3	4	23
Природный	1,0	1,0	8	46
Cyrymamyyyaayayy	7,0	4,2	33	184
Синтетический	1,0	4,7	26	145

Таблица 2. Элементный анализ цеолитов до и после сорбции в твердом виде.

	Природный		Синтетический		
2	После сорбции	После сорбции	После сорбции	После сорбции	
Элемент	(pH 7,0)	(<i>pH</i> 1,0)	(pH 7,0)	(pH 1,0)	
	масс.%	масс.%	масс.%	масс.%	
0	47,8	48,7	32,8	33,2	
Na	1,1	0,5	5,5	1,9	
Al	7,3	5,8	12,0	13,8	
Si	34,4	36,8	9,6	9,3	
Cl	1,2	1,2	3,2	6,3	
Са	1,3	0,4	12,7	15,5	
La	3,2	2,6	24,1	20,0	
K	3,7	3,9	0	0	

Так как синтетический цеолит показал лучшие результаты, то дальнейшие исследование проводилось на нем. Чтобы подтвердить полученные данные, растворы анализировались с помощью масс-спектрометра с индуктивно связанной плазмой (см. Таблицу 3).

Таблица 3. Оценка сорбционных свойств синтетического цеолита.

2	Состав раствора, мг/л			
Элементы	Исходный	После сорбции (рН 7,0)	После сорбции (рН 1,0)	
La	9794	7478	8008	
Са	54	1142	1700	
Na	9,8	135	357	
Al	0	0	61	
Si	0	0	0	

Сравнение растворов до и после сорбции катионов La^{3+} из кислых и нейтральных растворов, показало, что при сорбции значительное количество катионов из структуры цеолита (Ca^{2+} , Na^+ и Al^{3+}) переходит в элюат (см. Таблицу 3). При этом в кислых условиях количество вымываемых катионов ниже. В большей степени наблюдается вымывание кальция. Это может свидетельствовать об ионообменных процессах в синтетическом цеолите в процессе сорбции.

Для исследуемых цеолитов с целью описания механизма сорбции: её моно- или полимолекулярности, предельной сорбционной ёмкости и термодинамических характеристик была построена изотерма сорбции

(см. рис. 1). Значение предельной сорбционной ёмкости составило 46 и 145 мг/г сорбента.

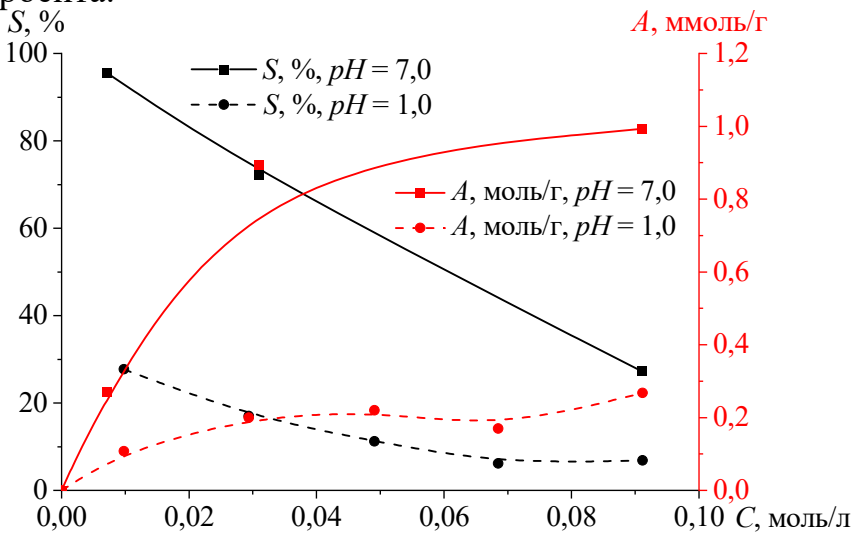


Рис. 1. Изотермы сорбции катионов La^{3+} на синтетическом цеолите.

Таблица 4. Параметры изотермы с использованием моделей Ленгмюра, Фрейндлиха, Темкина и Дубинина-Радушкевича для адсорбции ионов La^{3+} синтетическим пеолитом.

п	Цеолит синтетический					
Параметры модели	pH 1,0	pH 7,0				
Модель Ленгмюра						
$A_{\!\scriptscriptstyle m}$, моль/ Γ	0,0002	0,0010				
$K_{\scriptscriptstyle L}$, л/моль	148	167				
R_L	0,403-0,063	0,375-0,056				
ΔG° , кДж R^{2}	-12,38	-12,68				
R^2	0,8914	0,9996				
	Модель Фрейндлиха					
K_F , (моль/г)(л/моль) $^{1/\mathrm{n}}$	0,0005	0,0023				
n	3,44	3,93				
R^2	0,7269	0,9045				
	Модель Темкина					
$B_{\scriptscriptstyle m T}$, кДж/моль	20000	10000				
$K_{\scriptscriptstyle T}$	$3,0.10^3$	1,2·106				
R^2	0,6807	0,9336				
Модель Дубинина-Радушкевича						
A , моль/ Γ	0,0013	0,0003				
k , моль 2 /кДж 2	0,0039	0,0066				
R^2	0,9674	0,7546				
E , кДж/моль	11,32	8,70				

Примечание: R^2 — коэффициент корреляции.

На рис. 1 присутствует участок Генри (1-5 ммоль/л), это

свидетельствует о сильном взаимодействии адсорбата с поверхностью адсорбента. При увеличении концентрации катионов La^{3+} в растворе степень его извлечения также увеличивается. С дальнейшим увеличением концентрации катионов La^{3+} в растворе кривые выходят на насыщение. Они относятся к L2-типу по классификации Джайлсу [17]. Изотермы такого типа хорошо описываются уравнениями Ленгмюра, Фрейндлиха, Темкина и Дубинина-Радушкевича (см. Таблицу 4) [18].

Из сравнения данных Таблицы 4 видно, что для описания сорбции на синтетическом цеолите при pH 1,0 лучше подходит модель Дубинина-Радушкевича, а для pH 7,0 подходит модель Ленгмюра (наибольший R^2). Анализируя полученные данные, можно предположить, что в результате сорбции образуется однородная монослойная поверхность и все активные (сорбционные) центры обладают равной энергией и энтальпией сорбции. При этом происходит самопроизвольный процесс с выделением энергии, о чем свидетельствует ΔG° в модели Ленгмюра и $B_{\rm T}$ в модели Темкина (см. Таблицу 4) [18], а по данным модели Дубинина-Радушкевича E > 8 кДж/моль свидетельствует о химической сорбции.

На рис. 2 а представлены кинетические кривые сорбции ионов La^{3+} сорбентами. Результаты исследования кинетики сорбции в статических условиях при постоянном перемешивании показали, что равновесие в системе устанавливается в течение 15 мин при pH 1,0 и 7,0.

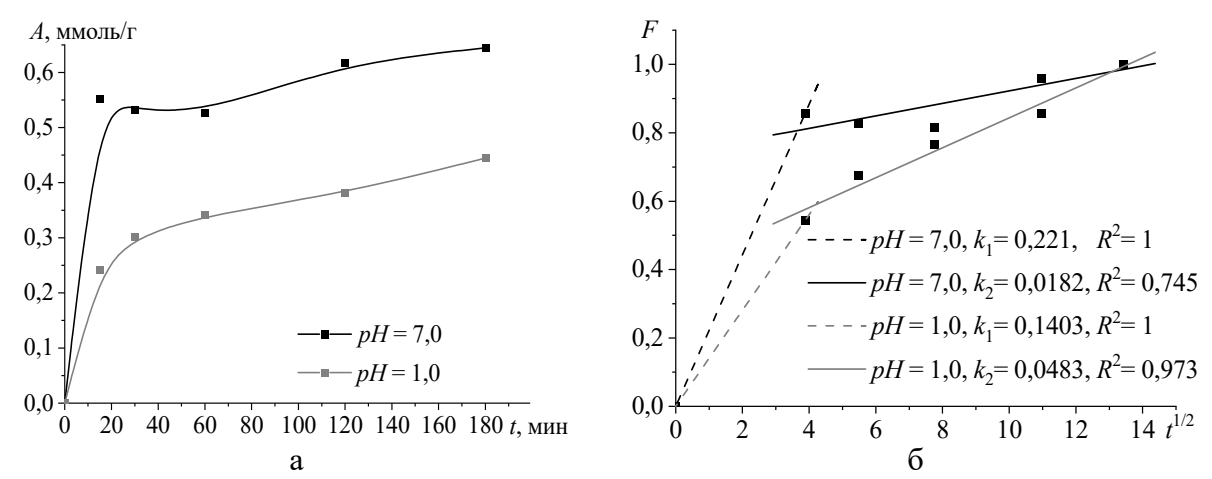


Рис. 2. Зависимости кинетических кривых: а — кинетические кривые сорбции ионов La^{3+} из растворов (C_{La3+} =0,1 моль/л); б — графики зависимости F от времени контакта фаз $t^{1/2}$.

На рис. 2 б видно, что при малых временах контакта фаз участок на графике кинетической кривой сорбции ионов La^{3+} синтетическим цеолитом при pH=1,0 и 7,0 является прямым до 20 минут, а затем искривляются, это свидетельствует о том, что диффузия в зерне сорбента контролирует общую скорость процесса. График является

мультилинейным, это указывает на то, что скорость процесса не регулируется только внутричастичной диффузией. Во всех случаях значения k_1 выше, чем значения k_2 , это указывает на ограничение доступных свободных мест для диффузии молекул и закупорку пор.

Для оценки вклада стадии химической реакции в скорость процесса, кинетические кривые сорбции были обработаны в соответствии с уравнениями моделей псевдо-первого порядка и псевдо-второго порядка [19, 20].

В результате обработки экспериментальных данных определены основные параметры моделей, которые представлены в Таблице 5.

Таблица 5. Кинетические параметры адсорбции ионов La^{3+} на сорбентах.

		1	1 ' 1 '	1	
	Модель псевдо-		Модель псевдо-второго		Начальная
	первого порядка		порядка		скорость сорбции
рН	k_1 , мин ⁻¹	R^2	k_2 , г/((моль/л)·мин)	R^2	h, мг/(моль·мин)
7,0	0,020	0,6947	120	0,9655	2,6·10 ⁻⁵
1,0	0,014	0,8397	112	0,9387	1,3·10 ⁻⁵

Модель псевдо-второго порядка несколько лучше описывает экспериментальные данные, чем модель псевдо-первого порядка. Модель псевдо-второго порядка, указывает на наличие взаимодействия сорбированных молекул друг с другом. Исходя из этого можно предположить, что хемосорбция является стадией, определяющей скорость адсорбции ионов лантана на сорбентах.

Изучение процесса десорбции катионов La^{3+} после его извлечения из водных и кислых сред показало, что при использовании воды в качестве элюента десорбция практически отсутствует (0,5%), а в кислых условиях увеличивается незначительно, до 9,1%. Это позволяет предположить, что катионы La^{3+} образуют прочную связь при взаимодействии с цеолитом и встраиваются в его структуру в процессе химической сорбции.

4. Заключение

При переходе от природного алюмосиликатного цеолита к синтетически полученному отмечено повышение эффективности сорбции в 3-8 раз. Синтетический цеолит практически количественно извлекает катионы La^{3+} из разбавленных водных растворов и представляет интерес в процессах выделения и концентрирования катионов лантана. В кислых условиях (pH 1,0) достигнута сорбционная ёмкость 145 мг/г, а в нейтральных (pH 7,0) — 184 мг/г. Экспериментальные данные были проанализированы с помощью изотермы сорбции, сделан сравнительный анализ применимости адсорбционных моделей Ленгмюра, Фрейндлиха, Темкина, Дубинина-Радушкевича. Показано, что процесс сорбции является

мономолекулярным и самопроизвольным.

Кинетические данные свидетельствуют об ионообменном характере сорбции. Сравнение растворов до и после сорбции как в кислых, так и нейтральных условиях показало, что при сорбции катионов La^{3+} значительное количество катионов из структуры цеолита (Ca^{2+} , Na^+ и Al^{3+}) переходят в раствор. Низкие значения десорбции на уровне 9,1% подтверждают химический характер сорбции, что представляет интерес в качестве возможности получения новых цеолитов, обогащенных РЗЭ.

Работа выполнена в соответствии с государственным заданием и планами НИР ФГБУН «Институт химии твердого тела Уральского отделения РАН» и в рамках государственного задания ФГБУН «Институт органического синтеза им. И.Я. Постовского УрО РАН» (тема № гос. рег. 124020100137-7), с использованием оборудования ЦКП САОС ФГБУН «Институт органического синтеза им. И.Я. Постовского УрО РАН».

Библиографический список:

- 1. **Weitkamp, J.** Zeolites and catalysis / J. Weitkamp // Solid State Ionics. 2000. V. 131. I. 1-2. P. 175-188. DOI: 10.1016/s0167-2738(00)00632-9.
- 2. **Толмачев, А.М.** Ионообменные свойства и применение синтетических и природных цеолитов / А.М. Толмачев, В.А. Никашина // В кн.: Ионный обмен; под ред. М.М. Сенявина. М.: Наука, 1981. С. 45-63.
- 3. **Bacakova, L.** Applications of zeolites in biotechnology and medicine a review / L. Bacakova, M. Vandrovcova, I. Kopova, I. Jirka // Biomaterials Science. 2018. V. 6. I. 5. P. 974-989. DOI: 10.1039/c8bm00028j.
- 4. **Eroglu, N.** Applications of natural zeolites on agriculture and food production / N. Eroglu, M. Emekci, C.G. Athanassiou // Journal of the Science of Food and Agriculture. 2017. V. 97. I. 11. P. 3487-3499. DOI: 10.1002/jsfa.8312.
- 5. **Sultanbayeva**, **G.S.** Removal of Fe²⁺, Cu²⁺, Al³⁺ and Pb²⁺ ions from phosphoric acid by sorption on carbonate-modified natural zeolite and its mixture with bentonite / G.S. Sultanbayeva, R. Holze, R.M. Chernyakova, U.Z. Jussipbekov // Microporous and Mesoporous Materials. 2023. V. 170. P. 173-180. DOI: 10.1016/j.micromeso.2012.11.022.
- 6. **Abdel-Magied, A.F.** Hierarchical porous zeolitic imidazolate frameworks nanoparticles for efficient adsorption of rare-earth / A.F. Abdel-Magied, N.A. Hani, M.A. Radwa et al. // Microporous and Mesoporous Materials. 2019. V. 278. P. 175-184. DOI: 10.1016/j.micromeso.2018.11.022.
- 7. **Aissa, A.** Covalent modification of calcium hydroxyapatite surface by grafting phenyl phosphonate moieties / A. Aissa, M. Debbabi, M. Gruselle et al. // Solid State Chemistry. 2007. V. 180. I. 8. P. 2273-2278. DOI: 10.1016/j.jssc.2007.05.016.
- 8. Дампилова, Б.В. Равновесие и кинетика сорбции ионов лантана на природных цеолитах / Б.В. Дампилова, Э.Л. Зонхоева // Сорбционные и хроматографические процессы. -2019. Т. 19. № 3. С. 325-333. DOI: 10.17308/sorpchrom.2019.19/749.
- 9. **Федорова, Ю.С.** Сорбция NdF_3 и ThF_4 активированными углями и цеолитами из расплава LiF-NaF-KF / Ю.С. Федорова, В.В. Самонин, А.С. Зотов et al. // Радиохимия. -2022. Т. 64. № 3. С. 241-247. DOI: 10.31857/S0033831122030066.
- 10. **Бибанаева, С.А.** Синтез и исследование функциональных характеристик композиционных материалов на основе наноразмерного гидроксиапатита и синтетических цеолитов / С.А. Бибанаева, Е.А. Богданова, В.М. Скачков // Физико-химические аспекты изучения кластеров, наноструктур и наноматериалов. 2023. Вып. 15. С. 913-923. DOI: 10.26456/pcascnn/2023.15.913.
- 11. **Seisenbaeva, G.A.** Mesoporous silica adsorbents modified with amino polycarboxylate ligands functional characteristics, health and environmental effects / G.A. Seisenbaeva, M.A.Ali Lamiaa, A. Vardanyan et al. // Journal of Hazardous Materials. 2021. V. 406. I. 4. Art. № 124698. 16 p. DOI: 10.1016/j.jhazmat.2020.124698.

- 12. **Cheng, J.** Synthesis of high-crystallinity Zeolite A from rare earth tailings: investigating adsorption performance on typical pollutants in rare earth mines / J. Cheng, X. Hua, G. Zhang, M. Yu, Z. Wang, Y. Zhang, W. Liu, Y. Chen, H. Wang, Y. Luo, X. Hou, X. Xie // Hazardous Materials. − 2024. − V. 486. − Art. № 124698. − 12 p. DOI: 10.1016/j.jhazmat.2024.133730.
- 13. **Бибанаева, С.А.** Синтез алюмосиликатных цеолитов в условиях глиноземного производства / С.А. Бибанаева // Физико-химические аспекты изучения кластеров, наноструктур и наноматериалов. 2022. Вып. 14. С. 747-753. DOI: 10.26456/pcascnn/2022.14.747.
- 14. **Бибанаева, С.А.** Сорбция тяжелых металлов из водных растворов синтетическими цеолитами / С.А. Бибанаева, В.М. Скачков // Физико-химические аспекты изучения кластеров, наноструктур и наноматериалов. 2023. Вып. 15. С. 924-929. DOI: 10.26456/pcascnn/2023.15.924.
- 15. **Пат. 2780972 Российская Федерация, МПК С01В39/02.** Способ получения синтетического алюмосиликатного цеолита / Бибанаева С.А., Скачков В.М., Сабирзянов Н.А.; заявитель и патентообладатель: Федеральное государственное бюджетное учреждение науки Институт химии твердого тела УрО РАН. —№ 2022101691; заявл. 26.01.2022; опубл. 04.10.2022, Бюл. № 28. 7 с.
- 16. **Hogendoorn, C.** Facile Arsenazo III-based assay for monitoring rare earth element depletion from cultivation media for methanotrophic and methylotrophic bacteria / C. Hogendoorn, P. Roszczenko-Jasińska, N.C. Martinez-Gomez et al. // *Applied and Environmental Microbiology*. − 2018. − V. 84. − I. 8. − Art. № e02887-17. − 9 p. DOI: 10.1128/AEM.02887-17.
- 17. Джайлс, Ч. Адсорбция из растворов на поверхностях твердых тел / Ч. Джайлс, Б. Инграм, Дж. Клюни; ред. Г. Парфит, К. Рочестер; пер. с англ. Б. Н. Тарасевича, под. ред. В.И. Лыгина. М.: Мир, 1986. 488 с.
- 18. **Al-Yaari, M.** Removal of mercury from polluted water by a novel composite of polymer carbon nanofiber: kinetic, isotherm, and thermodynamic studies / M. Al-Yaari, T.A. Salehb, O. Saber // The Royal Society of Chemistry. 2021. V. 11. I. 1. P. 380-389. DOI: 10.1039/d0ra08882j.
- 19. **Ho, Y.S.** Kinetics of pollutant sorption by biosorbents: review / Y.S. Ho, J.C.Y. Ng, G. McKay // Separation and Purification Methods. 2000. V. 29. I. 2. P. 189-232. DOI: 10.1081/spm-100100009.
- 20. **Cheung, W.H.** Kinetic analysis of the sorption of copper (II) ions on chitosan / W.H. Cheung, J.C.Y. Ng, G. McKay // Journal of Chemical Technology and Biotechnology. 2003. V. 78. I. 5. P. 562-571. DOI: 10.1002/jctb.836.

References:

- 1. Weitkamp J. Zeolites and catalysis, *Solid State Ionics*, 2000, vol. 131, issue 1-2, pp. 175-188. DOI: 10.1016/s0167-2738(00)00632-9.
- 2. Tolmachev A.M., Nikashina V.A. Ionoobmennye svojstva i primenenie sinteticheskikh i prirodnykh tseolitov [Ion exchange properties and application of synthetic and natural zeolites], *Ionnyj obmen [Ion exchange]*, ed. M.M. Senyavin, Moscow, Nauka Publ., 1981, pp. 45-63. (In Russian).
- 3. Bacakova L., Vandrovcova M., Kopova I., Jirka I. Applications of zeolites in biotechnology and medicine a review, *Biomaterials Science*, 2018, vol. 6, issue 5, pp. 974-989. DOI: 10.1039/c8bm00028j.
- 4. Eroglu N., Emekci M., Athanassiou C.G. Applications of natural zeolites on agriculture and food production, *Journal of the Science of Food and Agriculture*, 2017, vol. 97, issue 11, pp. 3487-3499. DOI: 10.1002/jsfa.8312.
- 5. Sultanbayeva G.S., Holze R., Chernyakova R.M., Jussipbekov U.Z. Removal of Fe²⁺, Cu²⁺, Al³⁺ and Pb²⁺ ions from phosphoric acid by sorption on carbonate-modified natural zeolite and its mixture with bentonite, *Microporous and Mesoporous Materials*, 2023, vol. 170, pp. 173-180. DOI: 10.1016/j.micromeso.2012.11.022.
- 6. Abdel-Magied A.F., Hani N.A., Radwa M.A. et al. Hierarchical porous zeolitic imidazolate frameworks nanoparticles for efficient adsorption of rare-earth, *Microporous and Mesoporous Materials*, 2019, vol. 278, pp. 175-184. DOI: 10.1016/j.micromeso.2018.11.022.
- 7. Aissa A., Debbabi M., Gruselle M. et al. Covalent modification of calcium hydroxyapatite surface by grafting phenyl phosphonate moieties, *Solid State Chemistry*, 2007, vol. 180, issue 8, pp. 2273-2278. DOI: 10.1016/j.jssc.2007.05.016.
- 8. Dampilova B.V., Zonkhoeva E.L. Ravnovesie i kinetika sorbtsii ionov lantana na prirodnykh tseolitakh [Equilibrium and kinetics of sorption of ions of lantan on natural zeolites], *Sorbtsionnye I Khromatograficheskie Protsessy [Sorption and chromatography processes]*, 2019, vol. 19, no. 3, pp.325-333. DOI: 10.17308/sorpchrom.2019.19/749. (In Russian).
- 9. Fedorov Yu.S., Samonin V.V., Zotov A.S. et al. Sorbtsiya NdF₃ i ThF₄ aktivirovannymi uglyami i tseolitami iz rasplava LiF-NaF-KF [Sorption of NdF₃ and ThF₄ with activated carbons and zeolites from LiF-NaF-KF molten salts], *Radiokhimiya* [*Radiochemistry*], 2022, vol. 64, no. 3, pp. 241-247. DOI: 10.31857/S0033831122030066. (In Russian).

- 10. Bibanaeva S.A., Bogdanova E.A., Skachkov V.M. Sintez i issledovanie funktsional'nykh kharakteristik kompozitsionnykh materialov na osnove nanorazmernogo gidroksiapatita i sinteticheskikh tseolitov [Synthesis and investigation of functional characteristics of composite materials based on nanoscale hydroxyapatite and synthetic zeolites], *Fiziko-khimicheskie aspekty izucheniya klasterov, nanostruktur i nanomaterialov [Physical and chemical aspects of the study of clusters, nanostructures and nanomaterials]*, 2023, issue 15, pp. 913-923. DOI: 10.26456/pcascnn/2023.15.913. (In Russian).
- 11. Seisenbaeva G. A., Lamiaa M.A.Ali, Vardanyan A. et al. Mesoporous silica adsorbents modified with amino polycarboxylate ligands functional characteristics, health and environmental effects, *Journal of Hazardous Materials*, 2021, vol. 406, issue 4, art. no. 124698, 16 p. DOI: 10.1016/j.jhazmat.2020.124698.
- 12. Cheng J., Hua X., Zhang G. et al. Synthesis of high-crystallinity Zeolite A from rare earth tailings: investigating adsorption performance on typical pollutants in rare earth mines, *Hazardous Materials*, 2024, vol. 486, art. no. 124698, 12 p. DOI: 10.1016/j.jhazmat.2024.133730.
- 13. Bibanaeva S.A. Sintez alyumosilikatnykh tseolitov v usloviyakh glinozemnogo proizvodstva [Synthesis of aluminosilicate zeolites in the conditions of alumina production], *Fiziko-khimicheskie aspekty izucheniya klasterov, nanostruktur i nanomaterialov [Physical and chemical aspects of the study of clusters, nanostructures and nanomaterials*], 2022, issue 14, pp. 747-753. DOI: 10.26456/pcascnn/2022.14.747. (In Russian).
- 14. Bibanaeva S.A., Skachkov V.M. Sorbtsiya tyazhelykh metallov iz vodnykh rastvorov sinteticheskimi tseolitami [Sorption of heavy metals from aqueous solutions with synthetic zeolites], *Fiziko-khimicheskie aspekty izucheniya klasterov, nanostruktur i nanomaterialov [Physical and chemical aspects of the study of clusters, nanostructures and nanomaterials]*, 2023, issue 15, pp. 924-929. DOI: 10.26456/pcascnn/2023.15.924. (In Russian).
- 15. Bibanaeva S.A., Skachkov V.M., Sabirzyanov N.A. *Sposob polucheniya sinteticheskogo alyumosilikatnogo tseolita* [Method for producing synthetic aluminosilicate zeolite]. Patent RF, no. 2780972, 2022. (In Russian).
- 16. Hogendoorn C., Roszczenko-Jasińska P., Martinez-Gomez N.C. et al. Facile Arsenazo III-based assay for monitoring rare earth element depletion from cultivation media for methanotrophic and methylotrophic bacteria, *Applied and Environmental Microbiology*, 2018, vol. 84, no. 8, art. no. e02887-17, 9 p. DOI: 10.1128/AEM.02887-17.
- 17. Adsorption from solution at the solid/liquid interface, ed. by G.D. Parfitt, C.H. Rochester, London, New York, Academic Press, 1983, XI+416 p.
- 18. Al-Yaari M., Salehb T.A., Saber O.M. Removal of mercury from polluted water by a novel composite of polymer carbon nanofiber: kinetic, isotherm, and thermodynamic studies, *The Royal Society of Chemistry*, 2021, vol. 11, issue 1, pp. 380-389. DOI: 10.1039/d0ra08882j.
- 19. Ho Y.S., Ng J.C.Y., McKay G. Kinetics of pollutant sorption by biosorbents: review, *Separation and Purification Methods*, 2000, vol. 29, issue 2, p. 189-232. DOI: 10.1081/spm-100100009.
- 20. Cheung W.H., Ng J.C.Y., McKay G. Kinetic analysis of the sorption of copper (II) ions on chitosan, *Journal of Chemical Technology and Biotechnology*, 2003, vol. 78, issue 5, p. 562-571. DOI: 10.1002/jctb.836.

Original paper

Sorption of La³⁺ cations by zeolites from aqueous solutions

Y.V. Rekh¹, S.A. Bibanaeva², M.S. Valova¹, V.M. Skachkov², O.V. Fedorova¹, N.A. Sabirzyanov²

¹I.Ya. Postovsky Institute of Organic Synthesis of the Ural Branch of RAS, Yekaterinburg, Russia

²Institute of Solid State Chemistry of the Ural Branch of RAS, Yekaterinburg, Russia

DOI: 10.26456/pcascnn/2024.16.960

Abstract: It is shown that the sorption of lanthanum cations by synthetic aluminosilicate zeolite, unlike natural ones, increases both in acidic and neutral conditions by 4 times (from 8 to 26%) and 8 times (from 4 to 33%), and the sorption capacity increases by 3-8 times to 145 and 184 mg/g, respectively. A comparative analysis of the applicability of the adsorption of Langmuir, Freundlich, Temkin, Dubinin-Radushkevich models to describe experimental isotherms of adsorption of lanthanum cations on synthetic zeolite is made. It is shown that the Langmuir model is best suited in aqueous media ($R^2 = 0.9996$). This indicates that a homogeneous monolayer surface is formed as a result of sorption. Based on the pseudo-first, pseudo-second order models and the intraparticle diffusion model, an assumption is made about the ion-exchange nature of sorption. It has been shown that zeolites can almost quantitatively extract La^{3+} cations from aqueous solutions and are of interest as sorbents with a high sorption capacity.

Keywords: sorption, purification, sorption activity, synthetic zeolite, aluminosilicate, lanthanum, Langmuir model.

Рех Юлия Викторовна— инженер-лаборант лаборатории гетероциклических соединений, ФГБУН «Институт органического синтеза им. И.Я. Постовского Уральского отделения РАН»

Бибанаева Светлана Александровна – научный сотрудник лаборатории химии гетерогенных процессов, ФГБУН «Институт химии твердого тела Уральского отделения РАН»

Валова Марина Сергеевна— к.х.н., научный сотрудник лаборатории медицинской химии, ФГБУН «Институт органического синтеза им. И.Я. Постовского Уральского отделения РАН»

Скачков Владимир Михайлович — к.х.н., старший научный сотрудник лаборатории химии гетерогенных процессов, ФГБУН «Институт химии твердого тела Уральского отделения РАН»

Федорова Ольга Васильевна— к.х.н., старший научный сотрудник лаборатории гетероциклических соединений, ФГБУН «Институт органического синтеза им. И.Я. Постовского Уральского отделения РАН»

Сабирзянов Наиль Аделевич — д.т.н., главный научный сотрудник лаборатории химии гетерогенных процессов, ФГБУН «Институт химии твердого тела Уральского отделения РАН»

Yuliya V. Rekh – Laboratory Engineer, Laboratory of Heterocyclic Compounds, I.Ya. Postovsky Institute of Organic Synthesis of the Ural Branch of RAS

Svetlana A. Bibanaeva – Researcher, Laboratory of Heterogeneous Processes in Chemistry, Institute of Solid State Chemistry of the Ural Branch of RAS

Marina S. Valova – Ph. D., Researcher, Laboratories of Medical Chemistry, I.Ya. Postovsky Institute of Organic Synthesis of the Ural Branch of RAS

Vladimir M. Skachkov – Ph. D., Senior Researcher, Laboratory of Heterogeneous Processes in Chemistry, Institute of Solid State Chemistry of the Ural Branch of RAS

Olga V. Fedorova – Ph. D., Senior Researcher, Laboratory of Heterocyclic Compounds, I.Ya. Postovsky Institute of Organic Synthesis of the Ural Branch of RAS

Nail A. Sabirzyanov – D. Sc., Chief Researcher, Laboratory of Heterogeneous Processes in Chemistry, Institute of Solid State Chemistry of the Ural Branch of RAS

Поступила в редакцию/received: 30.08.2024; после рецензирования/revised: 09.10.2024; принята/ассерted 15.10.2024.